

九州工業大学 学生員 桜井勝好

九州工業大学 正員 久保善延

沖縄県庁 正員 東樹開

1. まえがき 最近ランガーブリッジの吊材において風による振動が問題となって来ていますが、これらの吊材にはH型鋼が用いられることが多い。H型断面を含めたBluff断面では、一様な流れの中に置かれたカルマン渦による渦励振および自励振動としてギャロッピングを生じることが知られています。従来Bluff断面の中でも円柱や矩形柱に関するこれらの振動についての研究は多くなされて来ましたが、H型断面に関しては比較的研究例が少ない。このため本研究では、H型断面に関する渦励振からギャロッピングへの移行過程を追究すること、および一様流中と乱流中における応答の差異を検討することを目的において上下自由度振動実験を行なっている。

2. 実験および結果 実験に使用した風洞は、九州工業大学開発工木工学科付属のゲッキンゲン型小型風洞で、測定断面は40cm×40cm長さ200cm、測定風速範囲は0~7m/sである。実験模型にはフランジとウェブの長さが共に4cm、長さ38cmのバルサ材製のH型断面柱を使用し、上下自由度振動実験を行ない、固有振動数は4.98Hz、構造減衰率は対数減衰率で0.002~0.006程度連続可変できる電磁ダンパーを使用した。また乱流中の実験を行なうために、測定位置より上流側135cmの所に表1に示す5種類の格子を設置した。この表中L:バー間隔、B:バーサイズ、U:平均風速、I:乱れ強さ、L_x:乱れスケールである。これらの乱流解析にはマイコンを使用し、データ読み込み間隔3.73ms、データ長3.73sで行った。Figs.1~6において、(a)はたわみの無次元振幅、(b)はウェブの長さ4cm、Sは構造減衰率を対数減衰率で表わしたものである。この断面のストローハル数は熱線風速計による後流渦の測定からSt=0.147であり、いずれの応答においてもVer=1.35m/sあたりから振動の発現が見られた。

一様流中における応答に着目すると、構造減衰率S=0.002~0.007で渦励振とギャロッピングは分離しており、S=0.008以上になると両者の分離が生じる。このときFig.1に示されるように構造減衰率の増加とともにギャロッピングと想われる領域の不安定なりミットサイクルは高風速側に広がっていくが、安定なりミットサイクルはわずかに大振幅側に移行していくだけであり、またこのとき渦励振域の低風速側の応答はほとんど変化せず高風速側の応答が低風速側に移動して渦励振域を狭くしている。これにともない渦励振の最大応答振幅も低風速側および大振幅側に移動している。Fig.2は構造減衰率と渦励振域における最大応答振幅、Fig.3は構造減衰率と渦励振域における最大応答振幅に対応する風速の関係図で

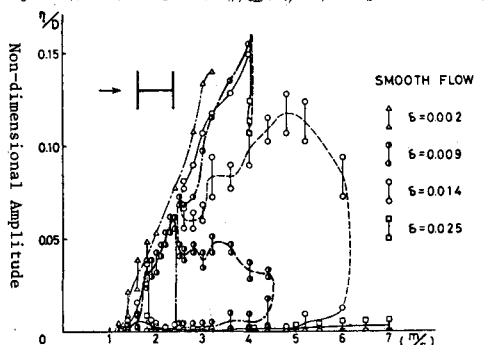


Fig.1 Responses of H-shaped Section in Smooth Flow

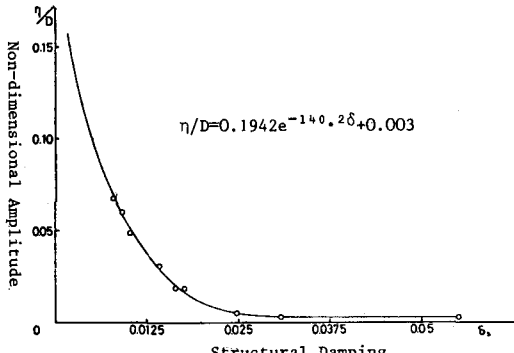
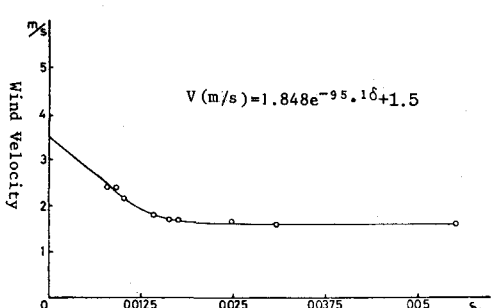
Fig.2 Maximum Amplitude of Vortex-induced Oscillation
—St.Damping

Fig.3 Wind Velocity of Maximum Amplitude of Vortex-induced Oscillation — St.Damping

表-1 乱流格子の種類

格子名	L(cm)	B(cm)	L/B	$\bar{U}(\text{m/s})$	In(%)	Lx(cm)
I	12.0	2.0	6	4.56	4.40	4.38
II	12.0	3.0	4	4.88	6.26	6.40
III	12.0	4.0	3	5.40	9.90	12.77
IV	8.0	2.0	4	4.60	6.42	7.41
V	16.0	4.0	4	4.08	9.76	6.46

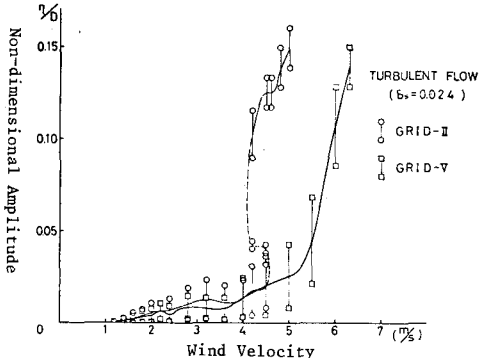


Fig.6 Responses in Turbulent Flow by Grids

あり、両者とも指數関数的であるが $a/D = 0.1942 e^{1.928}$ + 0.003, $V = 1.848 e^{-95.18} + 1.5$ と近似することができます。これらによると渦動振域とギャロッピング域とが分離していない応答についても、分離することができます。

一方乱流中の応答については、Fig.4に示されるように一様流中の場合とはかなり異なっており、渦動振域と一様流中の場合程顕著に現われていない。すなはち格子による乱流の性質によると、他の応答の状態は異なり、Fig.5, Fig.6に示されるように乱れ強さがほぼ同じで乱れスケールの異なる格子IIとIV、および乱れスケールがほぼ同じで乱れ強さの異なる格子IIとVIの比較から、乱れスケール乱れ強さとともに乱れ強さ大きい方が応答の高風速側に移行する傾向があることが知られる。この傾向は、構造減衰率との関係なく漏洩されており、乱流中の応答についてこれらの因子が重要な役割を果していると思われる。すなはち乱れ強さと乱れスケールの大きさ影響は、どちらが大きいかと考えた場合、どの構造減衰率についても応答の高風速側に移行する傾向と乱れ強さの大小に類似が見られることから、H型断面でも他の断面ですでに指摘されているように、乱れスケールより乱れ強さの大きさ影響の方が大きいのではないかと推察される。

3. あとがき H型断面柱の空力応答特性を一様流中と乱流中について構造減衰率との関係に着目して実験的検討を行なった。これによると、H型断面柱の場合矩形柱の応答とはかなり異なっており、特にギャロッピング域においてその差が著しい。すなはち一様流中については渦動振とギャロッピングが分離していない応答について分離したことを見出しが、より詳細な実験などによると正否が確かめられたことが望まれる。乱流中の実験によると、乱れ強さと乱れスケールが応答に重要な役割を果していいたい因子であることがわかつたが、より的確にこれらの因子をとらえようこれがこれからのが課題であると思われる。

参考文献 (1) 岷幡敏秋他; 向島大輔の吊材の耐風性について 橋梁 1972.5

(2) 国崎忠雄他; ランガーブリッジにおけるH型吊材の風による振動の防止 土木技術 25巻 5号

(3) 伊藤、久保; ランガーブリッジにおけるH型吊材の耐風設計 第27回年次学術講演会概要集 1972

(4) 吉村、中村他; 細長い橋梁吊材の耐風安定性について 土木学会論文報告集、No.230 1974

(5) 久保、松井他; H型断面柱の空力応答特性について 土木学会西部支部発表会講演集 1979

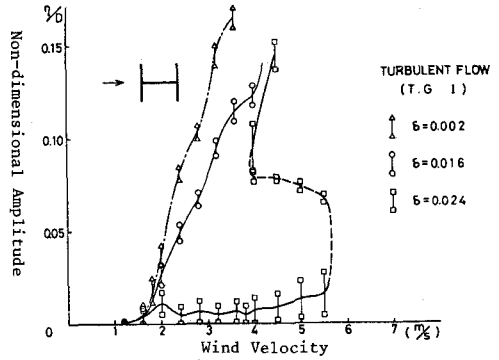


Fig.4 Responses of H-shaped Section in Turbulent Flow by Grid I

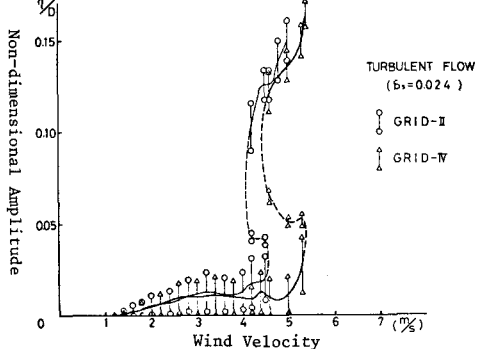


Fig.5 Responses in Turbulent Flow by Grids